

тело, имеет место формула (ч. II.73.6). Используем формулу (ч. II.73.6), опустив введенное там затухание  $\omega_0$ ,

$$\epsilon(\omega) = \epsilon_L \left( 1 - \frac{\omega_p^2}{\omega^2} \right), \quad (2.138)$$

где  $\epsilon_L$  — диэлектрическая проницаемость среды без вклада электронного газа и  $\omega_p$  — плазменная частота,  $\omega_p = (me^2/m^*e_0\epsilon_L)^{1/2}$ .

При больших  $k_x$  частота (2.137) приближается к предельной частоте, определяемой условием:  $\epsilon(\omega) = -1$ . Тогда из (2.138) получаем

$$\omega = \omega_p \left( 1 + \frac{1}{\epsilon_L} \right)^{-1/2}. \quad (2.139)$$

В качестве примера на рис. 37 дано сравнение с теорией экспериментально определенной кривой дисперсии поверхностных плазмонов в InSb. Для плоских невозмущенных поверхностей поверхностные плазмы возбуждаются светом так же незначительно, как и поверхностные поляритоны. Поэтому, чтобы получить результаты измерений, представленные на рис. 37, на поверхности должна быть вырезана штриховая решетка с постоянной решеткой  $d$ . При этом получаем компоненту вектора  $k$ , касательную к поверхности, со значениями  $k_x = (\omega/c)\sin\alpha + 2\pi m/d$ , где  $\alpha$  — угол падения, а  $m$  принимает все целые значения. В таком случае могут быть возбуждены поверхностные плазмы (и поляритоны). Относительно этого см. ссылку, данную в подписи к рис. 37.

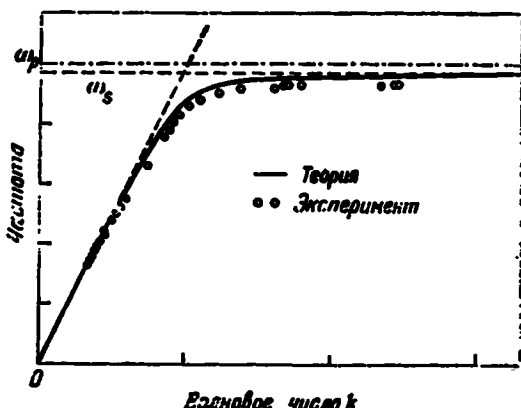


Рис. 37. Дисперсионная кривая поверхностных плазмонов в InSb и сравнение с теорией. [По Маршаллу, Фишеру, Кванссеру (Phys. Rev. Lett. 1971, v. 27, p. 95).]

При больших  $k_x$  частота (2.137) приближается к предельной частоте, определяемой условием:  $\epsilon(\omega) = -1$ . Тогда из (2.138) получаем

$$\omega = \omega_p \left( 1 + \frac{1}{\epsilon_L} \right)^{-1/2}. \quad (2.139)$$

В качестве примера на рис. 37 дано сравнение с теорией экспериментально определенной кривой дисперсии поверхностных плазмонов в InSb. Для плоских невозмущенных поверхностей поверхностные плазмы возбуждаются светом так же незначительно, как и поверхностные поляритоны. Поэтому, чтобы получить результаты измерений, представленные на рис. 37, на поверхности должна быть вырезана штриховая решетка с постоянной решеткой  $d$ . При этом получаем компоненту вектора  $k$ , касательную к поверхности, со значениями  $k_x = (\omega/c)\sin\alpha + 2\pi m/d$ , где  $\alpha$  — угол падения, а  $m$  принимает все целые значения. В таком случае могут быть возбуждены поверхностные плазмы (и поляритоны). Относительно этого см. ссылку, данную в подписи к рис. 37.